

МОСКОВСКИЙ ГОСУДАРСТВЕННЫЙ УНИВЕРСИТЕТ  
имени М.В. ЛОМОНОСОВА

*На правах рукописи*

**Прийменко Владимир Валерьевич**

**ПОЗДНЕМЕЛОВАЯ МЕТАЛЛОГЕНИЯ ЗОЛОТА И  
СЕРЕБРА ОМОЛОНСКОГО МАССИВА И ЕГО ЮЖНОГО  
ОБРАМЛЕНИЯ**

1.6.10. Геология, поиски и разведка твердых полезных ископаемых, минерагения  
(геолого-минералогические науки)

АВТОРЕФЕРАТ  
диссертации на соискание ученой степени кандидата  
геолого-минералогических наук

Москва – 2024

Диссертация подготовлена в лаборатории петрологии, изотопной геохронологии и рудогенеза ФГБУН Северо-Восточный комплексный научно-исследовательский институт им. Н.А. Шило Дальневосточного отделения РАН

**Научный Акинин Вячеслав Васильевич, доктор геолого-руководитель:** минералогических наук, член-корр. РАН

**Официальные Волков Александр Владимирович, доктор геолого-оппоненты:** минералогических наук, член-корр. РАН, ФГБУН Институт геологии рудных месторождений, петрографии, минералогии и геохимии РАН, лаборатория Геологии рудных месторождений, заведующий;

**Якубчук Александр Сергеевич, доктор геолого-минералогических наук, ФГБОУ ВО МГУ имени М.В. Ломоносова, геологический факультет, кафедра Геологии, геохимии и экономики полезных ископаемых, доцент;**

**Полуфунтикова Лена Идененовна, кандидат геолого-минералогических наук, доцент, ФГБУН Институт геологии алмаза и благородных металлов СО РАН, ведущий научный сотрудник лаборатории Геологии и минералогии благородных металлов, зам. директора по научно-организационной работе; ФГАОУ ВО «Северо-Восточный федеральный университет им. М.К. Амосова», геологический факультет, кафедра Прикладной геологии, доцент, и.о. заведующего.**

Защита диссертации состоится 26 декабря 2024 г. в 17 часов на заседании диссертационного совета МГУ.016.6 Московского государственного университета имени М.В. Ломоносова по адресу: 119991, Москва, Ленинские горы, д. 1, геологический факультет, ауд. 415.

E-mail: [dsmsu0403@yandex.ru](mailto:dsmsu0403@yandex.ru)

С диссертацией можно ознакомиться в отделе диссертаций научной библиотеки МГУ имени М.В. Ломоносова (Ломоносовский просп., д. 27) и на портале: <https://dissovet.msu.ru/dissertation/3192>

Автореферат разослан «\_\_\_» ноября 2024 г.

Ученый секретарь  
диссертационного совета,  
кандидат технических наук

К.М. Кузнецов

## ВВЕДЕНИЕ

### **Актуальность работы и степень её разработанности.**

В структуре Омоловского массива (ОМ) выделяются архейско-раннепротерозойский кристаллический фундамент и рифейско-фанерозойский чехол. В длительной истории ОМ установлено несколько минерагенических этапов, в течение которых образовывались экономически важные золото-серебряные и медно-порфировые месторождения, парагенетически связанные с окраинно-континентальным известково-щелочным магматизмом (Геодинамика..., 2006). Известково-щелочной магматизм масштабно проявился на ОМ в позднедевонско-раннекаменноугольное время, когда формировался Кедонский вулкано-плутонический пояс (ВП), а в его пределах многочисленные эпитеrmальные золото-серебряные месторождения – Кубака, Биркачан, Ольча и др. (Горячев и др., 2017). На северо-восточной окраине ОМ в позднеюрско-раннемеловое время происходило заложение Олойского ВП (Парфенов и др., 2003; Геодинамика ..., 2006; Тихомиров, 2020), с которым связаны крупные медно-порфировые и золото-серебряные месторождения (Шпикерман, 1998; Николаев и др., 2016). Ранне-позднемеловой известково-щелочной магматизм ознаменован становлением окраинно-континентального Охотско-Чукотского вулкано-плутонического пояса (ОЧВП), магматические комплексы внешней зоны которого с резким несогласием перекрывают мезозоиды ОМ. С данным этапом ассоциируют золотые и серебряные месторождения и рудопроявления (Котляр, Русакова, 2004; Стружков, Константинов, 2005; Кравцова, 2010; и др.), преимущественно Эвенского рудного района (РР) Пенжинского сегмента ОЧВП – Ирбычан, Невенрекан, Сопка Кварцевая, Дальнее, Ороч, Перекатное (здесь и далее на рис. 1). Объекты характеризуются различной степенью изученности, а имеющаяся геологическая информация по ним не систематизирована.

Магматические образования ОЧВП разделяются на ранний и поздний этапы развития (Белый, 1977; Умитбаев, 1986; Белый, 1994; и др.), в пределах которых вулканиты развиваются гомодромно – от андезитовых к риолитовым формациям два раза подряд; их деление в разрезе маркируется осадочными (с конгломератами) и вулканогенно-осадочными породами (Белый, 1977; Белый, 1994). Металлогеническим выражением магматизма ОЧВП является Охотско-Чаунская металлогеническая провинция (МП) (Умитбаев, 1986), где также отмечается двухэтапность золото-серебряной и медно-молибден-порфировой минерализации (Ньюберри и др., 2000).

В центральной части ОМ располагается Конгинская рудно-магматическая зона (РМЗ) – или вулкано-плутонический ряд по (Мерзляков и др., 1982), протягивающаяся в субмеридиональном направлении, ортогонально к простирианию ОЧВП (рис. 1). Традиционно Конгинская РМЗ рассматривается как линейный оперяющий структурный элемент ОЧВП; малая доля современных аналитических данных (ICP-MS, U-Pb,  $^{40}\text{Ar}$ - $^{39}\text{Ar}$  и др.) о составе и возрасте магматических образований указывают на неоднозначность данного заключения и требуют специализированного изучения.

Актуальность проведенных геолого-металлогенических исследований, нацеленных на реконструкцию истории развития мелового магматизма и связанного с ним разнотипного оруденения на ОМ и в его обрамлении, обусловлено дискуссионностью подходов и отсутствием устоявшейся точки зрения о металлогенической истории региона, его высокой промышленной значимости (Горячев и др., 2017); данное определяет стратегию проведения геолого-разведочных работ.

**Цели и задачи.** Цель исследования – реконструкция закономерностей формирования и размещения мезозойских месторождений золота и серебра ОМ и его обрамления для разработки металлогенических моделей. Для достижения указанной цели выполнены следующие задачи: (1) анализ геологического строения Конгинской РМЗ и Пенжинского сегмента ОЧВП (Эвенкийский РР), уделяя особое внимание анализу таких характеристик как состав и возраст магматических образований и парагенетически связанный минерализации; (2) детальное исследование геологического строения, вещественного состава месторождений Ирбычан, Перекатное и Невенрекан Эвенского РР; (3) определение возраста магматических и рудных образований Конгинской РМЗ и Эвенского РР U-Pb и  $^{40}\text{Ar} / ^{39}\text{Ar}$  методами датирования; сопоставление новых данных с предшествующими материалами; (4) выявление главных закономерностей формирования и размещения позднемеловых месторождений золота и серебра в регионе.

**Объектом** исследования являются рудно-магматические системы Конгинской РМЗ и Пенжинского сегмента ОЧВП (Эвенкийский РР). **Предметом** – геологическое строение, вещественный состав, возраст магматизма и связанной с ним рудной минерализации, рудно-магматических систем (РМС) Конгинской РМЗ и Эвенского РР.

**Фактический материал.** Работа выполнена на фактическом материале, собранном в ходе специализированных геологических исследований (2012-2022 гг.) на рудных объектах Магаданской области (Охотско-Чаунская и Омолонская МП), в том числе при совместных геологических изысканиях (2018 г.) с к.г.-м.н. А.Н. Глуховым (рудопроявления Захаренко, Кустики/Седое, Джелты). База данных по рудным объектам содержит собственные материалы, полученные в процессе полевых работ, а также сведения из производственных отчетов, хранящихся в территориальных геологических фондах г. Магадана (ФГУ «ТФГИ»), и журнальных публикаций.

Минералого-петрографическое изучение выполнено по более 130 петрографическим шлифам и 110 шлифам-препаратах рудной микроскопии. Для geoхимического анализа закономерностей распределения элементов – индикаторов оруденения, привлечены ICP-MS анализы по 91 пробам. Для месторождений Невенрекан, Перекатное и рудопроявления Захаренко методом Ar-Ar датирования проведено определение возраста кристаллизации адуляра и серицита из рудных тел (3 образца) и U-Pb по циркону – магматических комплексов (11 образцов, в том числе новые данные). Проанализированы и обобщены результаты геолого-съемочных, поисковых, оценочных, разведочных и тематических работ ПГО «Севвостгеология».

**Научная новизна.** С привлечением авторских материалов охарактеризованы месторождения и рудопроявления золото-серебряного, серебро-полиметаллического, золото-редкометального и медно-молибден-порфирового оруденения Эвенского РР (Невенрекан, Перекатное, Ирбычан) и Конгинской РМЗ (Захаренко, Джелты, Кустики/Седое, Лабазное, Туромча); уточнено геологическое строение и данные о возрасте минерализации и магматизма ( $U-Pb$  и  $^{40}\text{Ar}/^{39}\text{Ar}$  методы), минералогии и геохимии руд и вмещающих комплексов (ICP-OES, ICP-MS, данные микрозонда). Показано, что возраст и состав гранитоидов Конгинской РМЗ, ассоциирующих с рудной минерализацией, соотносится с поздним этапом гранитоидного магматизма Пенжинского сегмента ОЧВП. По авторским материалам получены первые данные о возрасте рудоносных гранитоидов Конгинской РМЗ и Эвенского РР ( $U-Pb$  по циркону) и времени кристаллизации жильного мусковита из золото-редкометального месторождения Перекатное, медно-молибден-порфирового рудопроявления Захаренко и адуляра эпiterмальной золото-серебряной минерализации месторождения Невенрекан ( $^{40}\text{Ar}/^{39}\text{Ar}$ ).

**Теоретическая и практическая значимость.** Установленные закономерности формирования рудной минерализации могут быть основой для разработки современных геолого-поисковых моделей, что позволит более качественно вести разбраковку перспективных участков при прогнозных и поисковых работах.

**Методология докторской диссертации.** Включает: (1) полевые работы от геолого-съемочных до тематических с проведением поисково-съемочных маршрутов, описанием рудных участков и горных выработок, изучением разрезов и отбором представительных коллекций образцов на разные виды анализов; (2) изучение минерального состава руд (с выделением последовательных парагенетических ассоциаций минералов) и петрографическое описание вмещающих пород; (3) электронную микроскопию и микрозондовый анализ; (4) определение концентраций примесных элементов пород и руд методами ICP-OES, ICP-MS; (5) изотопное датирование пород и руд  $U-Pb$  (TIMS, LA-ICP-MS) и  $^{40}\text{Ar}/^{39}\text{Ar}$  методами; (6) интерпретацию петрохимических, минералого-геохимических, геохронологических характеристик руд и вмещающих пород; (7) статистический анализ геохимического состава руд разнотипных месторождений методом главных компонент многомерной статистики (факторный анализ).

**Публикации и аprobация работы.** По теме докторской диссертации опубликовано 5 научных статей в рецензируемых научных изданиях, рекомендованных докторской диссертационным советом МГУ по специальности. Материалы докторской диссертации представлены автором на всероссийских и международных конференциях в Магадане (2017, 2018, 2020-2022), Якутске (2019-2022), Иркутске (2021), Владивостоке (2021), Хабаровске (2021), Сыктывкаре (2022), Москве (2021, 2022) и др.

**Источники финансирования.** Исследования выполнены в рамках государственного задания СВКНИИ ДВО РАН – «Разработка критериев рудоносности магматических комплексов» - № 124051600003-4, Молодежная лаборатория.

**Степень достоверности результатов.** Материалы диссертации доложены автором в устных докладах на 15 конференциях. Полученные результаты согласуются с исследованиями, представленными в независимой опубликованной литературе.

**Личный вклад автора.** Автор участвовал в полевых (12 экспедиций, из них в 4 – руководитель), камеральных, научно-исследовательских работах на рудопроявлениях и месторождениях Магаданской области в пределах Охотско-Чаунской МП (в составе ООО «ДГРП», ООО «Светлое») и Омоловонской (ООО «ОЗРК», АО «Полиметалл УК», СВКНИИ ДВО РАН). Общий объем детальных геолого-поисковых, специализированных и рекогносцировочных маршрутов составил 300 км. Материалы авторской коллекции послужили основой для исследований вещественного состава и возраста вмещающих пород и руд месторождений Ирбычан, Перекатное, Невенрекан, рудопроявлений Захаренко, Лабазное, Джелты, Кустики/Седое и др. Итоговые результаты отражены в печатных работах (Глухов и др., 2021, 2022; Прийменко и др., 2019-2023). Соискателем сформулированы положения диссертации и идеи публикаций (совместно с соавторами). Автор принимал активное участие в написании текстов публикаций, создании иллюстраций и графики, в выборе журналов и переписке с редакторами и рецензентами; вклад соискателя в формировании совместных публикаций основополагающий.

**Структура и объём диссертации.** Работа состоит из Введения, шести глав, Заключения, в т.ч. 232 страницы текста, 66 иллюстраций, 12 таблиц, 3-х приложений и списка литературы, содержащего 306 наименований опубликованных работ и фондовых отчетов.

**Благодарности.** Автор искренне признателен и благодарен сотрудникам Института, где выполнена работа, принимавшим участие в обсуждении и в обработке полученных данных: Н.А. Горячеву, Н.Е. Савве, И.Л. Жулановой, Е.М. Горячевой, А.С. Бякову, А.М. Гагиевой, М.И. Фоминой, Т.И. Михалицыной, Г.О. Ползуненкову, А.Н. Глухову, А.В. Альшевскому, О.Т. Соцкой, Е.Е. Коловой, а также сотрудникам университетов, научно-исследовательских и производственных геологических организаций Москвы, Санкт-Петербурга и Новосибирска за помощь и обсуждение результатов исследования: А.Б. Котову, М.М. Буслову, Е.Б. Сальниковой, О.Л. Галанкиной, В.П. Ковачу, Л.Н. Шишаковой, А.А. Самсонову, Д.С. Юдину, С.В. Петрову, А.В. Травину, А.П. Бороздину, Ю.С. Полеховскому, Корнееву С.И. Отдельную признательность и благодарность автор выражает научному руководителю В.В. Акинину.

#### **Положения, выносимые на защиту:**

1. Конгинская рудно-магматическая оперяющая зона Охотско-Чукотского вулканогенного пояса (ОЧВП) имеет ряд отличий от главной рудно-магматической дуги пояса: редуцированность магматизма и оруденения раннего этапа (1); отсутствие редкометалльного гранитоидного магматизма и связанного (RIRGS) оруденения (2), полей поздних базальтов и эпiterмальной золото-серебряной минерализации LS-типа (3); преобладание оруденения медно-порфировых рудно-магматических систем (4).

2. Время формирования разнотипного оруденения в пределах крупных рудно-магматических систем Эвенского района определено в интервале 91-78 млн лет на основании  $^{40}\text{Ar}$ - $^{39}\text{Ar}$  метода датирования мусковита из руд золото-редкометалльного месторождения Перекатное и адуляра из сульфидно-адуляр-кварцевых жил месторождения Невенрекан.

3. Результаты геолого-геохимического изучения рудных полей месторождений Ирбычан, Перекатное и Невенрекан в совокупности с геохронологическими и минералогическими данными показывают моногенное формирование первых двух, в то время как для месторождения Невенрекан установлено сочетание разнотипной минерализации в пределах выявленных рудных тел.

Положение №1 обосновывается в главах 3, 4, 5; Положение №2 и №3 обосновываются в главах 5 и 6.

## ОСНОВНОЕ СОДЕРЖАНИЕ РАБОТЫ

**Глава 1. Обзор предыдущих исследований.** Приведены общие сведения по истории геологического изучения ОМ и наложенного на него ОЧВП; освещаются вопросы, связанные с формированием представлений о металлогеническом потенциале данных структур.

**Глава 2. Методы исследования.** Приведено описание аналитических методов, задействованных при диссертационном исследовании: геохимии пород и руд (ICP-OES, ICP-MS) – ООО «Стюарт Геокемикл энд Эссей», г. Москва; минералогии руд и петрографического состава вмещающих пород (микроскоп AX-IOPLAN ZEIS); состава минеральных фаз (сканирующий электронный микроскоп Jeol JSM-6510LA – ИГГД РАН, г. Санкт-Петербург, и рентгеновский электронно-зондовый микроанализатор Camebax – СВ ЦКП СВКНИИ ДВО РАН, г. Магадан); оценки возраста пород и руд U-Pb – ИГГД РАН, г. Санкт-Петербург; ГИ СО РАН, г. Улан-Удэ, и  $^{40}\text{Ar}$ / $^{39}\text{Ar}$  – ЦКП МИИ СО РАН, г. Новосибирск, методами датирования минералов. Геохимические особенности руд рассмотрены с использованием статистического анализа методом главных компонент многомерной статистики (факторный анализ, по Davis, 2002; Котова, Булдаков, 2009) – МФ АО «Полиметалл УК», г. Магадан.

**Глава 3. Геологическое строение Пенжинского сегмента ОЧВП и Конгинской РМЗ, наложенных на Омолонский массив.** Геологическое строение Пенжинского сегмента рассмотрено в границах Эвенского РР (рис. 1). Здесь в строении вулканогенного разреза раннего этапа ОЧВП участвуют лавы и туфы андезитов с вулканогенно-осадочными прослоями (с фрагментами ранне-среднеальбской флоры, по Решения..., 1978) *тайночинской* и *кегалинской* свит и лавы и игнимбриты риодацитов *вархаламской* толщи (конец раннего – начало позднего мела, по Щепетов, 1995). Поздний этап отделен угловым несогласием и представлен лавами и туфами базальтов и андезибазальтов *туромчинской* толщи с линзами туфопесчаников и конгломератов в основании (с углефицированной

флорой позднего мела – не древнее сеномана, по ЛОС-200)<sup>1</sup> и лавами и туфами риолитов *хайчанской толщи* (конъяк-сантон, по ЛОС-200). Венчают разрез пла-тобазальты и андезибазальты *уйканской толщи*, именуемые «верхними базальта-ми ОЧВП» (Белый, 1977; Котляр, Русакова, 2004; Тихомиров, 2020; Akinin et al., 2020). Толщи вулканитов прорываются и метаморфизуются позднемеловыми гранитоидными интрузиями *гармандинского и ахавеемского комплексов* – Гар-мандинский, Доктомычанский, Мечта и штокообразные тела до 60-80 км<sup>2</sup>.

Конгинская РМЗ – субмеридионально ориентированная зона (200 × 15–40 до 60 км), состоящая из разрозненных вулканоструктур и интрузивно-купольных поднятий (рис. 1). Вулканогенный разрез раннего этапа ОЧВП представлен тер-ригенной *тиксской свитой* (конгломераты и песчаники с флорой раннемелового возраста, по ЛОС-200) и, залегающей с угловым несогласием, вулкано-терригенной *нижнеконгинской подсвитой* (с позднеальбской и сеноманской фло-рой, по ЛОС-200); позднего этапа – андезитовыми лавами средней и риолитовы-ми верхней подсвит *конгинской свиты*. Вулканогенные образования конгинской свиты прорваны и метаморфизованы позднемеловыми интрузиями *викторинско-го комплекса* – массивы Ветвистый, Спрут (около 90 км<sup>2</sup>), силлы, многофазные штоки (до 10 км<sup>2</sup>) (Дылевский, 1984; ЛОС-200; и др.).

Сопоставление вулканизма на участках ОЧВП и РМЗ выполнено по ли-тературным описаниям типовых и сводных разрезов и авторским материалам полевого исследования в бассейне руч. Бодрый (рис. 2). Сравнительный анализ показал, что наиболее ярко отличия в режиме вулканогенных накоплений про-явились в пределах Конгинской РМЗ; здесь отсутствуют (редуцированы) вулка-ногенные толщи раннего этапа ОЧВП и, напротив, значительно превосходят по объему и площади распространения вулканогенные образования позднего. Отме-чается снижение мощности (интенсивности) вулканогенных накоплений в направлении с юга на север – от Омсукчанской зоны (Умитбаев, 1983, 1986; Ли-вач и др., 2022) через Коркодон-Наяхансскую (Мерзляков и др., 1981 г.; Терехов и др., 1984) вглубь ОМ к Конгинской РМЗ.

**Глава 4. Рудоносные гранитоидные комплексы Эвенского рудного района (Пенжинский сегмент ОЧВП) и Конгинской рудно-магматической зоны: история проблемы, геохимические особенности, геохронометрические данные.** Сравнительный петрохимический анализ магматических образований Конгинской РМЗ и Пенжинского сегмента ОЧВП показал, что при общем сход-стве их составов выделяется ряд отличий. На TAS диаграмме (рис. 3а) точки со-ставов гранитоидов *викторинского* (Конгинская РМЗ) и *гармандинского* (Пен-жинский сегмент) комплексов располагаются в области от нормальнощелочных габбродиоритов до нормально- и умереннощелочных гранодиоритов и гранитов; при этом гранитоиды Конгинской РМЗ отличаются более повышенными концен-трациями щелочей. Гранитоиды относятся к I-типу магнетитовой серии, за ис-

<sup>1</sup> Шевченко В.М., Симаков К.В. Легенда Омолонской серии Государственной геологической карты Российской Федерации масштаба 1:200 000. Второе изда-ние. Магадан: СевВостНИЦМИС, 1999. 173 с.

ключением ед. пробы (S типа ильменитовой серии) с рудопроявления Горный Эвенского РР. На диаграмме Дж. Пирса (1984) точки составов пород попадают в область вулканических дуг (рис. 3б). Спектры распределения примесных элементов в целом имеют схожий рисунок – ярко выраженный Ta-Nb минимум, Pb максимум и глубокий Ti минимум; при этом гранитоиды викторинского комплекса обнаруживают умеренно повышенные концентрации HFSE – Zr, Y, и LILE – Sr, Ba (рис. 3г). Гранитоиды характеризуются схожим распределением REE – обогащением LREE по отношению к HREE; для викторинского комплекса отмечаются относительно повышенные содержания HREE, для гармандинского – повышенные LREE (рис. 3в). Европеевая аномалия проявлена слабо; незначительно в гранитоидах гармандинского комплекса. По содержаниям несовместимых элементов (Таусон, 1977) породы викторинского комплекса соответствуют андезитовому и латитовому геохимическим типам, гармандинского – андезитовому и известково-щелочному. Геохимические отличия гранитоидов Конгинской РМЗ – повышенные щелочность, кремнекислотность, содержания LILE, связаны с удаленностью от палеозоны субдукции и вовлечением в процесс выплавления магмы сиалического гнейсового фундамента ОМ (Глухов и др., 2022).

Для гранитоидных тел викторинского и гармандинского комплексов, расположенных в пределах рудных участков, выполнено изохронное датирование U-Pb методом по циркону: Конгинская РМЗ – конкордантные значения возраста диоритовых штоков рудопроявлений Захаренко –  $86.4 \pm 1$  млн лет (CKBO=0,79), и Кустики/Седое –  $86 \pm 1$  млн лет (CKBO=5,4), сантон (рис. 4г,ж); Эвенский РР – гранитоидные штоки Туромчинской вулкано-тектонической депрессии (ВТД), участки Невенрекан и Перекатное –  $77 \pm 1$  млн лет (CKBO=0,91) и  $77 \pm 1$  млн лет (CKBO=1,9), кампан (рис. 4д,е).

Анализ имеющейся геохронометрической информации по гранитоидному магматизму ОЧВП показал закономерное распределение разновозрастных интрузий (рис. 5,6; табл. 1); так в его внутренней зоне – Охотский, Кони-Пьягинский сегменты, преимущественно сосредоточены интрузии, характеризующие ранний (101-85 млн лет, альб-конъяк) этап магматизма, в северной (внешняя зона) – Пенжинский сегмент, Конгинская, Коркодон-Наяханская ( $86 \pm 1.3$  млн лет, по Akinin et al., 2020) и Омсукчанская (86-82 млн лет, Акинин, Миллер, 2011) РМЗ – поздний (85-74 млн лет, сантон-кампан). Отсутствие альбских датировок среди гранитоидов Конгинской и Коркодон-Наяханской РМЗ подтверждает ранее установленный асинхронный характер магматизма ОЧВП (Акинин, 2012; Тихомиров, 2020).

**Глава 5. Геология, вещественный состав и возраст позднемеловых месторождений и рудопроявлений золота и серебра Омолонского массива и его обрамления.** Меловые магматические образования Конгинской РМЗ и Эвенского РР вмещают многочисленные месторождения и рудопроявления золота и серебра. Их размещение контролируется глубинными разломами (северо-западного и субширотного простирания), расположенными на сочленении с кольцевыми и дуговыми разрывами, ограничивающими интрузивно-купольные поднятия или ВТД. Большинство рудопроявлений приурочено к контактовым

зонам гранитоидных интрузий викторинского и гармандинского комплексов, которые нередко находятся за пределами области мелового вулканализма Пенжинского сегмента ОЧВП и Конгинской РМЗ (рис. 1), что позволяет существенно расширить традиционно выделяемые границы вулканического пояса вслед за Р.Б. Умитбаевым (1986).

Месторождения золота и серебра Эвенского РР и Конгинской РМЗ, согласно классификации (Sillitoe, Hedenquist, 2003; Hart, 2007), принадлежат золото-серебряному, золото-редкометалльному (не установлен в Конгинской РМЗ), медно-молибден-порфировому, полиметаллическому (с золотом и серебром) типам оруденения. Ряд месторождений уверенно классифицируются и служат эталонными объектами; другие – остаются дискуссионными, требующими новых данных.

На основе проведенного анализа разнотипного оруденения выполнено детальное описание месторождений (геологическое строение, петрографические и минералого-geoхимические характеристики, материалы изотопного датирования руд), являющихся объектами изучения автора.

*5.1. Золото-серебряное оруденение* широко проявлено в границах ОМ и в структурах ОЧВП. Рассматриваются его геолого-генетические типы, базирующиеся на пространственно-генетической связи оруденения с разно-глубинными магматическими очагами, комплексе характерных рудных минералов, составе рудообразующих растворов и пр.; приводится описание:

*5.1.1. низкосульфидированного типа (LS)* или эпимермального золото-серебряного вулканогенного. Характерные представители – крупнейшие месторождения ОМ (Кубака, среднепалеозойское) и ОЧВП (Купол, меловое). В Эвенском РР – Сопка Кварцевая, Дальнее, Ороч, Альдигич и др. (Стуржков, Константинов, 2005; Кравцова, 2010; Горячев и др., 2017; Савва, 2018; Кравцова и др., 2023). К данному типу отнесено месторождение Ирбычан, расположенное в центральной части Эвенского РР. Сравнительный анализ рудных объектов Эвенского РР и месторождения Купол (Центрально-Чукотский сегмент ОЧВП) показал их сходный минеральный состав (табл. 2); значимые отличия выявлены для руд месторождения Невенрекан<sup>2</sup> (его описанию посвящена Глава 6).

*5.1.2. среднесульфидированного типа (IS)*. Отличается приуроченностью жильных тел к дистальной части порфировой рудно-магматической системы (РМС), широким распространением карбонатных пород в границах месторождений, высокими концентрациями меди, свинца, цинка, редко молибдена в рудах, низкими отношениями Au к Ag (1:10 - 1:100). К данному типу отнесено рудопроявление Джелты, расположенное в Конгинской РМЗ.

*5.1.3. высокосульфидированного типа (HS)* или алунист-кварцевого. Относится к редким и слабо изученным на С-В и России в целом; единственный представи-

---

<sup>2</sup> Прийменко В.В., Глухов А.Н. Полиформационность рудных месторождений и эпимермальное Au-Ag оруденение (Северо-Восток Азии) // Геология и минерально-сырьевые ресурсы Северо-Востока России. Материалы XI Всероссийской научно-практической конференции. Якутск, 2021. С. 101-104.

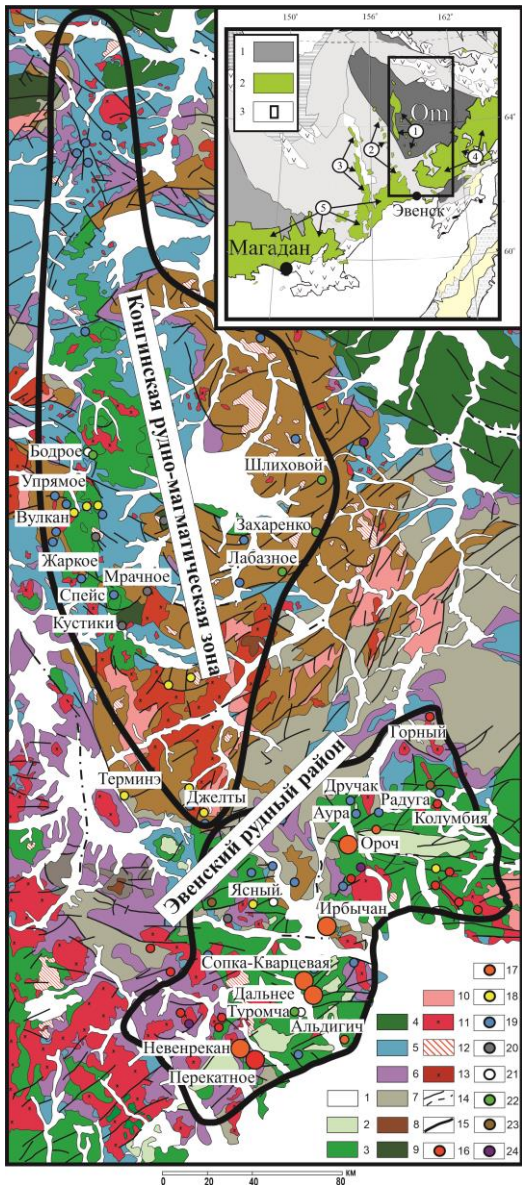
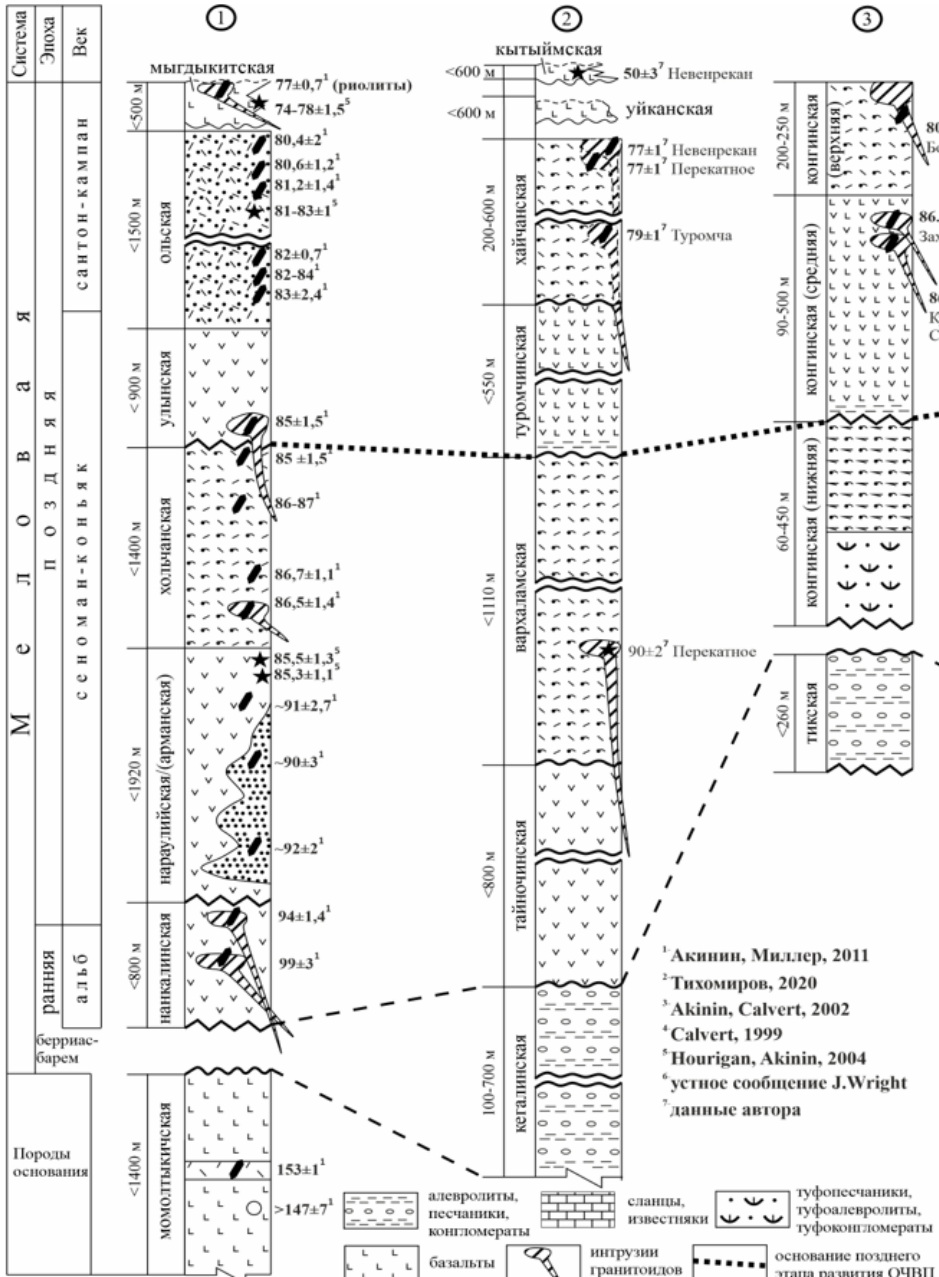


Рис. 1. Геологическая карта Конгинской рудно-магматической зоны и Пенжинского сегмента ОЧВП, по (В. М. Кузнецов и др., 1998, 2001 г.; Кравцова, 2010; Горячев и др., 2017) с упрощением и добавлениями:

1 – четвертичные и неогеновые отложения; 2 – нерасчлененные позднемеловые «верхние базальты» ОЧВП и палеогеновые базальты кытыймской свиты; 3 – преимущественно вулканогенные породы ОЧВП; 4 – вулканогенные и вулканогенно-осадочные породы Олойского пояса; 5 – преимущественно терригенно-осадочные породы юры; 6 – терригенно-осадочные и вулканогенно-осадочные породы триаса; 7 – верхнепалеозойские терригенно-карbonатные породы; 8 – преимущественно среднепалеозойские вулканогенные породы кедонской серии; 9 – силурийские и кембрийские образования; 10 – до-кембрийские метаморфические, интрузивные и осадочные образования; 11,12 – позднемеловые интрузии: гранитоидные поликристаллические (11), порфировидные (12); 13 – палеозойские гранитоидные интрузии; 14 – разломы (штрих-пунктиром – предполагаемые); 15 – контуры Конгинской рудно-магматической зоны и Эвенского рудного района (Пенжинский сегмент ОЧВП).

16–24 – Месторождения и рудопроявления: 16 – золото-редкометальные, 17 – золото-серебряные плутоногенные, 18 – золото-серебряные вулканогенные, 19 – полиметаллические, 20 – скарново-полиметаллические, 21 – серные и алунитовые проявления, 22 – медно-молибден-порфироные, 23 – оловянные и олово-серебряные, 24 – молибден-порфироные. На врезке – Тектоническая схема (Акинин, Миллер, 2011): 1 – Омоловский массив (Ом); 2 – Охотско-Чукотский вулканогенный пояс (альб-кампан); 3 – граница исследуемой территории; Цифрами в кружках обозначены: 1 – Конгинская рудно-магматическая зона; 2 – Коркодон-Наяханская рудно-магматическая зона; 3 – Пенжинский сегмент ОЧВП; 5 – Охотский сегмент ОЧВП.

молибден-порфироные. На врезке – Тектоническая схема (Акинин, Миллер, 2011): 1 – Омоловский массив (Ом); 2 – Охотско-Чукотский вулканогенный пояс (альб-кампан); 3 – граница исследуемой территории; Цифрами в кружках обозначены: 1 – Конгинская рудно-магматическая зона; 2 – Коркодон-Наяханская рудно-магматическая зона; 3 – Пенжинский сегмент ОЧВП; 5 – Охотский сегмент ОЧВП.



1 Акинин, Миллер, 2011

2 Тихомиров, 2020

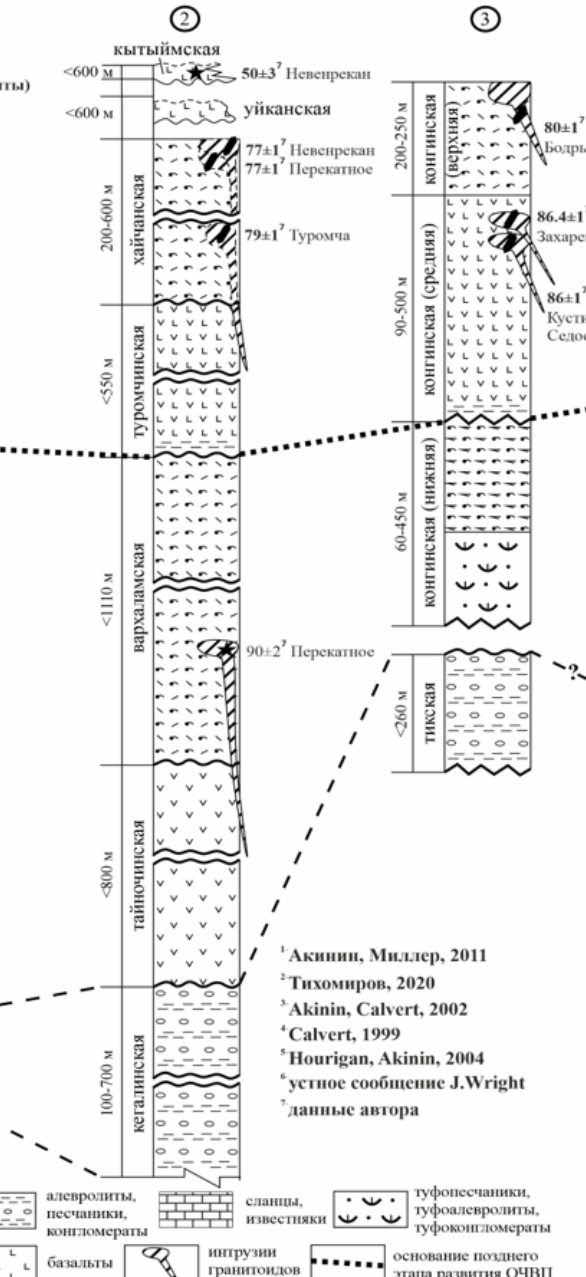
3 Akinin, Calvert, 2002

4 Calvert, 1999

5 Hourigan, Akinin, 2004

6 устное сообщение J.Wright

7 данные автора

алевролиты, песчаники, конгломераты  
базальты  
интрузии гранитоидов  
основание позднего этапа развития ОЧВПсланцы, известняки  
туфопесчаники, туфаалевролиты, туфоконгломераты

риолиты

туфы/игнимбриты риолитов

лавы/туфы дацитов, дациандезитов

андезиты

U-Pb SHRIMP даты циркона, млн лет

Ar/Ag даты млн лет

K/Ar даты, млн лет

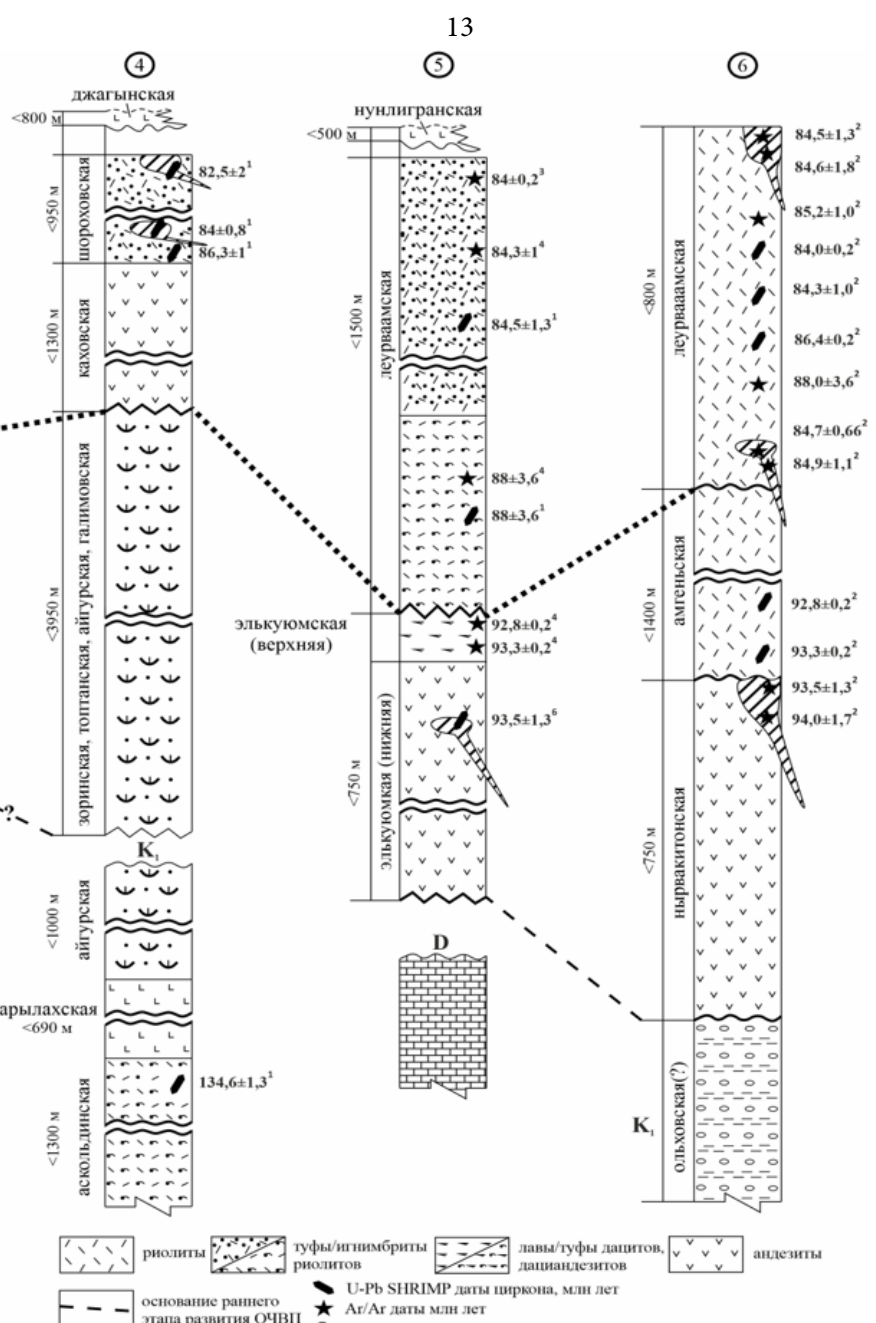


Рис. 2. Сводные типовые разрезы меловых вулканогенных отложений в пределах структурных участков ОЧВП и магматических зон изучаемого региона.

Цифры в кружках – разрез в пределах: 1 – Охотского сегмента ОЧВП – Арманская ВТД; 2 – Пенжинского сегмента ОЧВП – Эвенкийский рудный район, Турумчинская ВТД; 3 – Конгинской рудно-

магматической зоны; 4 – Омсукчанской зоны; 5 – Восточно-Чукотской (западная часть) фланговой зоны ОЧВП – Румилетская ВТД; 6 – Восточно-Чукотской (восточная часть) фланговой зоны ОЧВП. Разрезы по материалам: 1, 4, 5 – Акинин, Миллер, 2011; 2, 3 – ЛОС 200; Симаков, Шевченко, 1999 г.; Жуланова и др., 1999 г., с добавлениями автора. 6 – Решения..., 2009; Тихомиров, 2020.

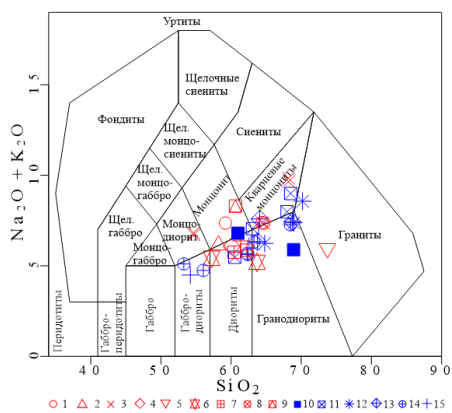
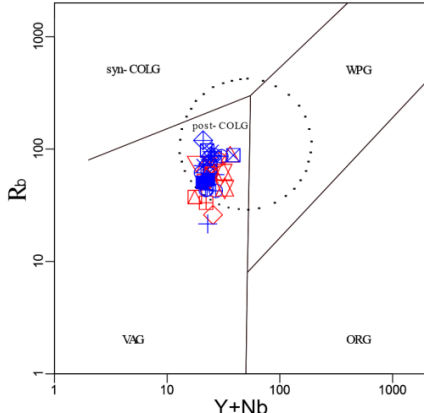
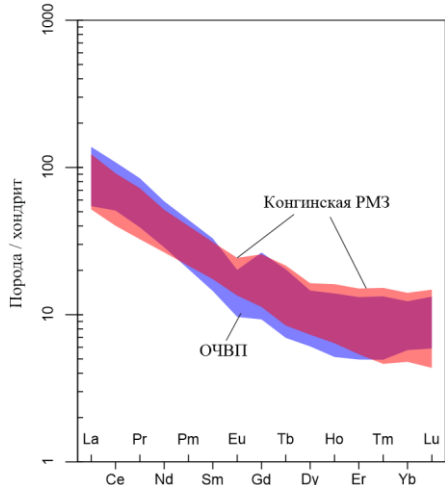
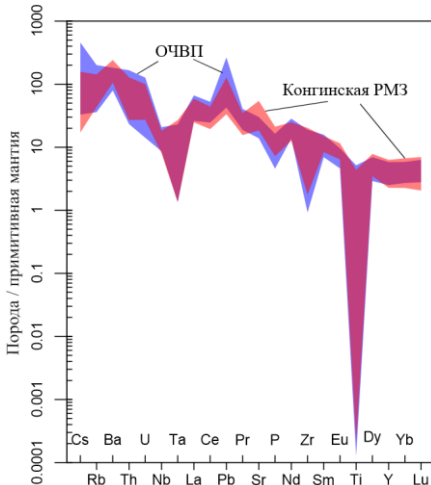
**a****б****в****г**

Рис. 3. Диаграммы химического состава гранитоидов Конгинской РМЗ (викторинский комплекс) и Эвенского рудного района (гармандинский комплекс) ОЧВП. **а** – классификационная TAS (Middlemost, 1994); **б** – дискриминационная Rb–Y+Nb (Pearce et al., 1984); спайдерграммы распределения примесных элементов, нормированных по хондриту (в – Boynton, 1984) и примитивной мантии (г – McDonough, Sun, 1995). Фигурные знаки – состав гранитоидов в пределах рудных участков и месторождений: 1–9 – Конгинская РМЗ (красный цвет): 1 – Бодрый, 2 – Промежуточный, 3 – Бургагчан, 4 – Ущельный, 5 – Скрытый, 6 – Захаренко, 7 – Лабазное, 8 – Седой/Кустики, 9 – Джелты; 10–15 – Эвенский рудный район (синий цвет): 10 – Горный, 11 – Озерный, 12 – Туромча, 13 – Невенрекан, 14 – Перекатное, 15 – Альдигич. Поля составов на диаграмме Пирса – геодинамические обстановки: syn-COLG – коллизионные, post-COLG – постколлизионные, WPG – внутриплитные, VAG – магматических дуг, ORG – океанических хребтов.

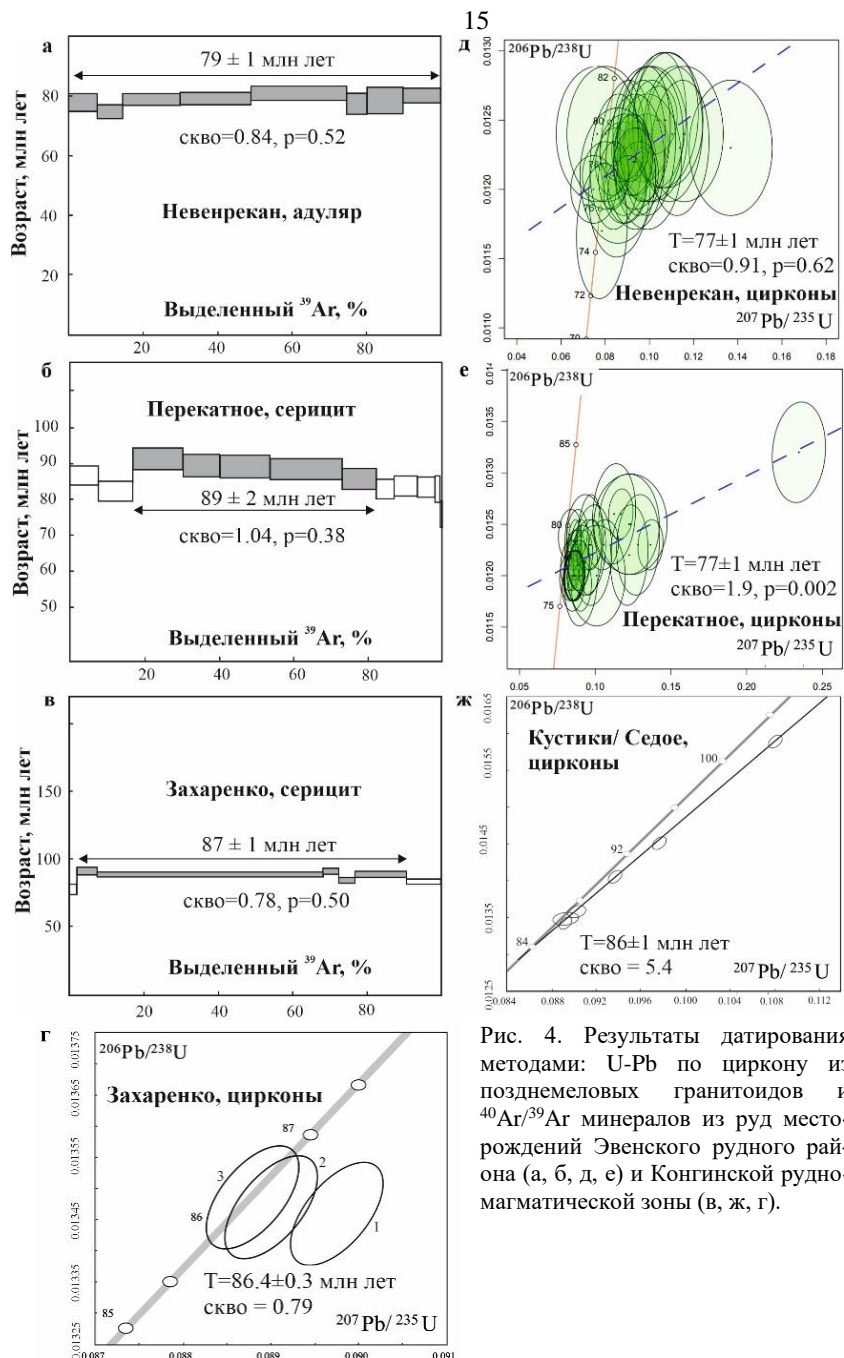


Рис. 4. Результаты датирования методами: U-Pb по циркону из позднемеловых гранитоидов и  $^{40}\text{Ar}/^{39}\text{Ar}$  минералов из руд месторождений Эвенского рудного района (а, б, д, е) и Конгинской рудно-магматической зоны (в, ж, г).

Таблица 1. Рудно-магматические системы Охотско-Чаунской металлогенической провинции в эволюционной схеме ОЧВП; геолого-геохронологические данные.

Импульсы магматической активности (млн лет) <sup>1</sup>	1. андезитовый (106–89)	2. андезитовый; базальты, туфоконгломераты, песчаники (94–89)	3. дайкти-риодацитовый; туфы (89–85)	4. андези-базальтовый (85–83)	5. риолитовый (83–81)	6. «верхние базальты» (79–76)
Этапы формирования ОЧВП <sup>3, 4</sup>	ранний этап			поздний этап		отдельный этап растяжения <sup>5</sup>
Смена фронтальной субдукции на косую <sup>3, 6</sup>	101–85 млн лет (направление движения на северо-запад)			85–74 млн лет (направление движения на запад)		
Стратиграфические подразделения Эвенского и Магаданского района ОЧВП (свита, толщина) <sup>2</sup>	нанкалинская	тайночинская, кеталинская наргаулайская (нанкалинская), арманская	вархаламская хольчанская	туромчинская улынская	хайчанская ольская	уйканная мыгдыкитская
Рудно-магматические системы	Золото-серебряные (LS)	<b>ОЧВП</b> рудные, Ar/Ar, адуляр, млн лет <u>Охотский сегмент</u> Ойра 76.08±0.3 <sup>15</sup> 93 <sup>17</sup> Нявленга 93.68±0.2 <sup>15</sup> <u>Центрально-Чукотский сегмент</u> Юрьевское 91–99 <sup>17</sup> Купол 93±1 <sup>21</sup>	<b>ОЧВП</b> рудные, адуляр, млн лет <u>Пенжинский сегмент</u> Невенрекан 79.4±1 <sup>15</sup> -Ar/Ar Дальнее 80±0.5 <sup>12</sup> -Rb-Sr <u>Сопка-Кварцевая</u> 77±3 <sup>12</sup> -Rb-Sr 78.6 ±0.2 <sup>15</sup> -Ar/Ar 80.4±0.2 <sup>15</sup> -Ar/Ar 80±2 <sup>15</sup> -K-Ar <u>Ирбычан</u> 82.45±0.2 <sup>15</sup> -Ar/Ar <u>Кегали</u> 79.92±0.2 <sup>15</sup> -Ar/Ar <u>Охотский сегмент</u> , Ar/Ar Карамкен 78.6±0.2 <sup>16</sup> 78.88±0.2 <sup>15</sup> 78.42±0.2 <sup>15</sup> <u>Утесное</u> 81 <sup>17</sup> <u>Валунистое</u> 71.6±0.2 <sup>15</sup> 71.97±0.2 <sup>15</sup> 75–80 <sup>17</sup>	<b>ОЧВП</b> рудные, интрузивные млн лет <u>Анадырский сегмент</u> Ольховское 78±2.6 <sup>23</sup> -Rb-Sr *78±0.65 <sup>23</sup> <u>Пенжинский сегмент</u> Туromча ***79±2 <u>Охотский сегмент</u> <u>Пиритовый</u> *85 <sup>13</sup> <b>Конгинская РМЗ</b> Бодрый ***80 Кустики/Седое **86 <sup>9</sup> Лабазное 82±2-K-Ar, ***86±2 мусковит Захаренко 87±1 <sup>9</sup> -Ar-Ag, **86 <sup>9</sup> мусковит <b>Коркодон-Наханская РМЗ</b> Аксу 84.6±0.3 <sup>8, 20</sup> - *86±1.3 <sup>8, 20</sup> Re-Os, молибденит *84±1 <sup>8, 20</sup>	<b>ОЧВП</b> рудные, Ar-Ar, мусковит, млн лет <u>Охотский сегмент</u> Бутугычаг 78 <sup>22</sup> Контактовое 79.8 <sup>17</sup> Чагыданское 80.5±0.4 <sup>17</sup> Штурмовское *82 <sup>22</sup> Ачча *83 <sup>22</sup> <b>Омсукчанская РЗ</b> рудные, Ar-Ar, млн лет Невское и др. 84.5±0.5 <sup>17</sup>	
		<b>ОЧВП внутренняя зона</b> рудные, млн лет <u>Пенжинский сегмент</u> Усинское 98 <sup>13</sup> -Re-Os, молибденит Речной *100 <sup>13</sup> Профессорский *100 <sup>18</sup> -Re-Os, молибденит Уптар *95 <sup>13</sup> <u>Кони-Пьягинский сегмент</u> Тальниковый *94 <sup>13, 14</sup> Лора 104±5 <sup>4</sup> -K-Ar, эксплозивная брекчия *103 <sup>13</sup> 104–76 <sup>4</sup> , K-Ar				
Золото-редкометальные	Медно-порфировые	<b>ОЧВП внутренняя зона</b> рудные, млн лет <u>Пенжинский сегмент</u> Перекатное 89±2-Ar-Ar, мусковит <u>Охотский сегмент</u> , K-Ar Тэутэлжак 103 <sup>10</sup> Волочек 105 <sup>11</sup> Верхне-Семканское 105 <sup>11</sup>	<b>ОЧВП</b> рудные, Ar-Ar, мусковит, млн лет <u>Охотский сегмент</u> Бутугычаг 78 <sup>22</sup> Контактовое 79.8 <sup>17</sup> Чагыданское 80.5±0.4 <sup>17</sup> Штурмовское *82 <sup>22</sup> Ачча *83 <sup>22</sup> <b>Омсукчанская РЗ</b> рудные, Ar-Ar, млн лет Невское и др. 84.5±0.5 <sup>17</sup>	<b>ОЧВП</b> рудные, Ar-Ar, мусковит, млн лет <u>Охотский сегмент</u> Бутугычаг 78 <sup>22</sup> Контактовое 79.8 <sup>17</sup> Чагыданское 80.5±0.4 <sup>17</sup> Штурмовское *82 <sup>22</sup> Ачча *83 <sup>22</sup> <b>Омсукчанская РЗ</b> рудные, Ar-Ar, млн лет Невское и др. 84.5±0.5 <sup>17</sup>		

*Примечание.* Импульсы магматической активности (их возрастные интервалы) и соответствующие им вулканогенные и вулканогенно-осадочные свиты, толщи, по: <sup>1</sup> – Акинин, Миллер, 2011; <sup>2</sup> – Решения..., 2009. Этапы формирования ОЧВП и соответствующие им геодинамические обстановки, по: <sup>3</sup> – Белый, 1994; <sup>4</sup> – Котляр, Русакова, 2004; <sup>5</sup> – Engebretson et al., 1985; <sup>6</sup> – Парфенов и др., 2003. Результаты изотопного датирования рудных тел месторождений и вмещающих гранитоидных интрузий, по: <sup>7</sup> – Акинин и др., 2019; <sup>8</sup> – Акинин и др., 2021; <sup>9</sup> – Глухов и др. 2022; <sup>10</sup> – Горячев, 2005; <sup>11</sup> – Горячев и др., 2013; <sup>12</sup> – Кравцова, 2010; <sup>13</sup> – Колова и др., 2022; <sup>14</sup> – Колова и др., 2023; <sup>15</sup> – Лейер и др., 1996; <sup>16</sup> – Лейер и др., 1997; <sup>17</sup> – Ньюберри и др., 2000; <sup>18</sup> – Пачерский и др., 2021; <sup>19</sup> – Прийменко и др., 2022; <sup>20</sup> – Соцкая и др., 2021; <sup>21</sup> – Thomson et al., 2022; <sup>22</sup> – Voroshin et al., 2004; <sup>23</sup> – Rogacheva, Baksheev, 2010. \*SHRIMP, \*\*TIMS, \*\*\*LA-ICP-MS – U-Pb датирование по цирконам. Граница раннего и позднего этапов развития ОЧВП, по (Белый, 1977-1994).

тель в границах ОЧВП – месторождение Светлое (Западный сегмент) (Мишин, 2011). К данному типу причислены рудопроявления Туromча (Эвенский РР) (Глухов, 2011) и руч. Бодрый (Конгинская РМЗ), обладающие схожим строением и минералого-geoхимическими характеристиками. Алунит-кварцевые золото-серебряные объекты широко представлены и активно разрабатываются в зарубежных регионах Тихоокеанского кольца (Sillitoe, 2010); предполагается перспективность прогнозно-поисковых программ на данный тип оруденения в вулканогенных поясах активных континентальных окраин ДВ России.

5.2. *Золото-редкометальное оруденение (RIRGS)* связано с интрузивно-купольными структурами (прежде всего гранитоидными). На С-В России данный тип характеризуют месторождения Бутарное, Дубач, Тугучак, Лево-Дыбинское, Школьное, Кекурное и др. (Волков и др., 2013; Волков, Сидоров, 2018); в границах Эвенского РР – рудопроявление Инач, Аханджа, многочисленные безымянные рудопроявления и пункты минерализации (Кузнецов и др., 2001 г.; Усачев и др., 2007 г.). Месторождение Перекатное (Эвенский РР) принадлежит Невенрекан-Перекатненскому рудному узлу. Предполагается парагенетическая связь оруденения с гранитоидным штоком, расположенным, по данным магнито-электроразведки, на глубине от 300 м. Отмечается наличие в рудах ассоциации гессита, кубанита, изостанина, молибденита. Среднее содержание золота – 0.6 г/т (максимальное 1.3 г/т), серебра – 13 г/т.; отношение Au/Ag – 1:5. Геохимический спектр руд – As-Au-Cd-Ag-Te-Bi<sup>3</sup>. Методом <sup>40</sup>Ar/<sup>39</sup>Ar датирования по мусковиту из сульфидно-кварцевых жил штокверковой зоны получено возрастное значение 89±2 млн лет (СКВО = 1.04, Р = 0.38, выделенного <sup>39</sup>Ar – 78.2%) (рис. 46).

5.3. *Медно-молибден-порфировое оруденение* относится к числу главных поставщиков меди, молибдена и золота (Петров и др., 2020). Характерно для островодужных и окраинно-континентальных вулкано-плутонических поясов. Про-

<sup>3</sup> Прийменко В.В., Глухов А.Н., Фомина М.И., Акинин В.В., Михалицына Т.И., Соцкая О.Т. Возраст, геология и вещественный состав золото-редкометального месторождения Перекатное (Магаданская область) // Геология и минерально-сырьевые ресурсы Северо-Востока России. Материалы XII Всероссийской научно-практической конференции. Якутск, 2022г. С. 230-232. DOI 10.52994/9785751332846\_2022\_47.

мышленные концентрации молибдена и меди сосредоточены в эндо- и экзоконтактовых зонах гранитоидных интрузий, где формируются штокверковые зоны, которые на периферии сопровождаются полиметаллической минерализацией с золотом. К данному типу нами отнесены рудопроявления Захаренко и Лабазное (Конгинская РМЗ), имеющие сходное строение. Содержания молибдена и меди в штокверках Захаренко до 0,03 масс. %, свинца – до 0,06%, цинка – до 0,04%, геохимический спектр Mo-Ag-Pb-Cu-Zn-Ag; для рудоносных кварцевые жилы и прожилков периферической зоны, несущих золото-серебро-полиметаллическую минерализацию, содержания золота до 20 г/т, серебра – до 88 г/т, свинца более 1%, геохимический спектр Au-Pb-Ag-(W, Mo)-As (Глухов и др., 2021). Методом  $^{40}\text{Ar}/^{39}\text{Ar}$  датирования по мусковиту из филлизитов рудного поля Захаренко получена датировка  $87.9 \pm 1.3$  млн лет (рис. 4в); к ней приближена K-Ar дата по окологильному мусковиту рудопроявления Лабазное –  $82 \pm 2$  млн лет.

*5.4. Серебро-полиметаллическое оруденение* сопряжено с медно-молибден-порфировыми, реже золото-серебряными объектами, и составляет с ними единый эволюционно-латеральный ряд в рамках РМС. В пределах Конгинской РМЗ и Эвенского РР представлено преимущественно оруденельными скарнами, развитыми по карбонатным породам на контакте с гранитоидными интрузиями – рудопроявления Хивач, Жаркое, Мрачное и др., реже – сульфидно-карбонатными жилами и прожилковыми зонами – Вулкан, Гном, Терминэ, Упрямое и др. (Глухов и др., 2021) и сульфидно-кварцевыми жилами – Аксу, Захаренко, Лабазное. Рудопроявление Кустики/Седое (Конгинская РМЗ) представлено кварц-сульфидно-карбонатными прожилками, рассекающими гранат-пироксеновые скарны. Рудные минералы: пирит, сфалерит, галенит, халькопирит, стефанит, прустит, пиаргирит, самородное серебро, а также, редко: арсенопирит, леллингит, глаукодот, кобальтин, алтантит, гессит, теллуровисмутит, тетрадимит (Савва, 2018). Содержания золота составляют до 8 г/т, серебра – до 197 г/т, свинца и цинка – до 1%; геохимический спектр минерализации Pb-Ag-Zn-As-Bi-W-Sb-Au-Cu.

Основные итоги сопоставления магматизма и рудообразования Эвенского РР и Конгинской (отчасти Коркодон-Наяханской и Омсукчанской) РМЗ обсуждаются в разделе 5.5. *Этапность мелового магматизма и сопутствующего оруденения Эвенского рудного района и Конгинской рудно-магматической зоны; сопоставление геологических, геохронологических и металлогенических данных.* Эвенский РР является примером, сочетающим в своем составе разнотипное оруденение, связанное с различными РМС – золото-серебряные эпимеральные Ирбычан, Сопка Кварцевая, Ороч, Дальнее, золото-серебряное алунит-кварцевое (HS) Туромча, золото-редкометалльные Перекатное, Инач и Аханджа, а так же Невенрекан, рассматриваемое автором как полигенное с наложенной золото-редкометалльной и эпимеральной золото-серебряной минерализацией (Глава 6). Конгинская РМЗ – преобладают медно-порфировая (Бодрий, Захаренко, Лабазное, Вечернее, Хрустальное и др.) и серебро-полиметаллическая (Кустики/Седое, Жаркое, Мрачное и др.) минерализации; отсутствуют золото-редкометалльная и золото-серебряная минерализации низкосульфидированного типа.

Таблица 2. Минеральный состав руд золото-серебряных месторождений Эвенского рудного района (Пенжинский сегмент ОЧВП) в сравнении с минерологией золото-серебряного месторождения Купол (Центрально-Чукотский сегмент ОЧВП).

Месторождения Минералы	Сопка Кварцевая	Дальние	Ирбичан	Ороч	Купол	Невенрекан	
	Этапы оруденения*						
	ВГ	ВГ	ВГ	ВГ	ВГ	ВГ	П
Кварц	+	+	+	+	+	+	+
Халцедон	+	+	+	+	+	+	+
Адуляр	+	+	+	+	+	+	+
Гидрослюдя	+	+	+	+	+	+	+
Мусковит/ Серцицит							+
Хлорит	+	+	+	+	+	+	+
Гипс/Ангидрит	+	+	+		+	+	
Эпидот					+		+
Каолинит	+	+	+	+	+	+	+
Кальцит/ Родохрозит	+	+	+	+	+	+	+
Анкерит				+			+
Барит	+	+		+			+
Ярозит	+		+	+	+	+	+
Гипс	+	+				+	
Гематит					+	+	
Пирротин	+	+	+	+	+	+	+
Пирит	+	+	+	+	+	+	+
Галенит	+	+	+	+	+	+	+
Евгенит					+		
Аргентогаленит							+
Сфalerит	+	+	+	+	+	+	+
Халькопирит	+	+	+	+	+	+	+
Фрейбергит		+	+	+	+	+	+
Теннантит				+	+	+	+
Тетраэдрит	+	+	+	+		+	
Антимонит	+						
Андорит					+		
Арсенопирит	+	+	+	+	+	+	+
Марказит	+	+	+	+	+	+	+
Борнит							+
Халькозин				+	+		
Кан菲尔лит							+
Se-кан菲尔лит							+
Станинин							+
Касситерит**							+
Агвиларит	+	+	+	+	+	+	+
Науманинит				+	+	+	
Джемсонит					+		
Буланжерит				+			
Матильдит					+		+
Пираргирит	+	+	+		+	+	
Прустит	+	+	+				
Стеванинит	+	+	+	+	+	+	
Полибазит	+	+	+	+	+	+	+
Яланит							
Пирсент	+	+		+	+		
Киноварь					+		
Миаргирит	+	+				+	
Биллингслеит	+				+	+	
Акантит	+	+	+	+	+	+	+
Самородное Au	+	+	+	+	+	+	+?
Электрум	+	+	+	+	+	+	
Кюстелит	+	+	+	+	+	+	+
Ютенбогартит	+				+	+	
Самородный Pb							+
Самородное Ag				+	+	+	+

Примечание. ВГ – вулканогенный, П – plutоногенный. \* – минералогия в технологических пробах из производственных отчетов (Печниковский, 2011г.; Антошин и др., 2010г.; Ишков, 2012г.; Шувал-Сергеев, Яковенко, 2017г.), монографии Н.Е. Саввы (2018) и авторской коллекции (Прийменко и др., 2019, 2020, 2022); \*\*минералогия руд (Подолян, Бороздин, 2017).

Анализ материалов изотопного датирования магматических и рудных образований обнаруживает две группы датировок – 105-87 и 87-76 млн лет, временные рамки которых соответствуют раннему и позднему этапам магматической активности ОЧВП (рис. 5; табл. 1). Установлено, что гранитоидные интрузии и парагенетически связанные с ними рудные объекты, отвечающие раннему этапу магматизма, сосредоточены преимущественно в краевой – внутренней зоне ОЧВП (Пенжинский, Охотский сегменты), граничащей с Удско-Мургальским поясом, позднего этапа – в линейных зонах, протягивающихся вглубь континента к ОМ (Омсукчанской, Коркодон-Наяханской и Конгинской РМЗ).

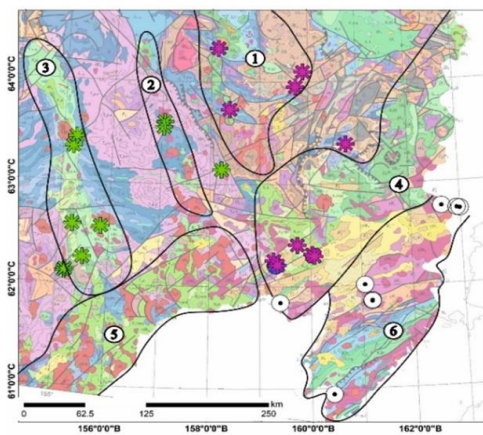


Рис. 5. Пространственная локализация гранитоидов раннего и позднего этапов развития ОЧВП; на геологической карте масштаба 1:2 500 000 [<https://openmap.mineral.ru>].

Фигурные значки – местоположение гранитоидных интрузий с U-Pb датировками, млн лет: звездочка (86-77), круг с черной точкой (102-89); фиолетовая и синяя заливка – коллекция автора, зеленая и белая – из литературных источников. Цифры в кружочках: 1-3 – рудно-магматические зоны: Конгинская (1), Коркодон-Наяханская (2), Омсукчанская (3); 4,5 – сегменты ОЧВП: Пенжинский (4), Охотский (5); 6 – Удско-Мургальский вулканический пояс.

Отсутствие альбских датировок среди интрузивных и рудных образований Конгинской и Коркодон-Наяханской РМЗ, а также сокращенный объем ранненемеловых вулканогенных накоплений в их границах, подтверждают ранее установленный асинхронный характер магматизма ОЧВП – смещение активности с континентальной окраины вглубь континента (Тихомиров, 2020). Эвенский РР является наиболее охарактеризованным современными методами изотопного датирования. Совокупность данных о возрасте интрузивных и рудных образований позволяют существенно расширить временной интервал формирования промышленно значимого оруденения золота и серебра в Эвенском РР – от раннего этапа, когда формировалось золото-редкометалльное месторождение Перекатное ( $89 \pm 2$  млн лет, турон-коньяк), до позднего, которому отвечает эпiterмальная золото-серебряная минерализация месторождения Невенрекан ( $79.4 \pm 1$  млн лет, кампан). Изложенное суммируется в 1 и 2-ом защищаемых положениях.

**Глава 6. Золотые и серебряные месторождения Омолонского массива и его южного обрамления с наложенной минерализацией.** В главе приведены краткие сведения об особом типе месторождений, в котором совмещено разнотипное – наложенное друг на друга, оруденение; обозначены структурные, геодинамические, минералого-геохимические и пр. характеристики, которые могут рассматриваться как критерии для обоснования наложенной минерализации. К данному типу отнесено месторождение Невенрекан, детальное описание которого приведено в разделе 6.1. *Золото-серебряное месторождение Невенрекан*

*как объект с наложенной минерализацией.* Эксклюзивность месторождения Невенрекан в ряду золото-серебряных объектов Эвенского РР обусловлена его геолого-структурной позицией и влиянием локальных (и зачастую региональных) факторов на эволюцию рудообразования. В строении Невенрекан-Перекатненского рудного узла совмещены Невенреканская ВТД и изометричное Перекатненское интрузивно-купольное поднятие, в апикальной части которого расположено золото-редкометалльное месторождение Перекатное. Золото-серебряная минерализация ограничена областью распространения позднемеловых вулканитов, золото-редкометалльная – триасовыми терригенными породами фундамента вулканоструктуры.

Результатами минералогического изучения в составе руд месторождения Невенрекан выявлен ряд минералов, не встречающихся в золото-серебряных (LS) месторождениях Эвенского РР рудного района (табл. 1); преимущественно это минералы, образование которых связано с плутогенным этапом оруденения (*эпидот, аргентогаленит, борнит, кан菲尔дит, станин, кестерит, касситерит, матильдит, самородный свинец*). Геохимический спектр руд – Au-Ag-Se-Sb-As-Sn-Te-Bi, со значительным содержанием элементов редкометалльного профиля – Bi, Sn, Te. В целом, для Невенрекан-Перекатненского рудного узла устанавливается геохимическая зональность, выраженная распределением микроэлементов в направлении с юго-востока на северо-запад – As-Au-Cd-Ag-Te-Bi (Перекатное) → Au-Ag-As-Sn-Bi-Te (Невенрекан, рудная зона III) → Au-Ag-As-Sn-Zn-Pb (Невенрекан, рудная зона II) → Au-Ag-As-Sb-Sn-Te (Невенрекан, рудная зона I).

По материалам геологических наблюдений и данных изотопного датирования составлена идеализированная геолого-событийная модель формирования Невенрекан-Перекатненского рудного узла. Установлено сочетание разнотипных (оловянной с касситеритом и золото-серебряной) минерализаций, связанных с плутоногенной и вулканогенной РМС. Выделено три этапа гипогенного рудообразования, каждый из которых характеризуется набором типоморфных минералов и их парагенезисов: - ранний (плутоногенный) – связь с золото-редкометалльной рудно-магматической системой (составной частью которой является месторождение Перекатное); характеризуется повышенными концентрациями Sn, Bi и Te, присутствием ксенолитов касситерита в халькопирите ранних парагенетических ассоциаций руд месторождения Невенрекан (Подолян, Бороздин, 2017), присутствием самородного золота II генерации; - основной (вулканогенный) – формирование адуляр-кварцевых жил с золото-серебряной минерализацией на фоне предрудного андезит-дацитового субинтрузивного магматизма; выделяется по парагенетическим ассоциациям минералов, характерным для эпигермальных золото-серебряных месторождений Эвенского РР; - поздний плутоногенный и метаморфический (или «гибридный») – отражает совокупность воздействия наложенных друг на друга плутоногенной и вулканогенной РМС; характерно присутствие в рудах кан菲尔дита, кестерита, матильдита, родонита, в рудном поле – окварцованных и эпидотизированных пород.

Материалы изотопного датирования указывают на непродолжительный (около 10 млн лет) интервал образования наложенной (двухэтапной), вулканоген-

ной и плутоногенной) минерализации – от раннего этапа минерализации на месторождении Перекатное ( $89\pm2$  млн лет) до позднего на месторождении Невенрекан ( $79\pm1$  млн лет) (рис. 4а,б).

В разделе главы 6.2. Геохимических особенностей золото-серебряных руд на трехмерных диаграммах факторных значений (метод многомерной статистики факторного анализа) на примере полигенного месторождения Невенрекан наглядно показано поведение индикаторных химических элементов разнотипных месторождений: - эптермального золото-серебряного (LS) типа; в пределах ОЧВП – Ирбычан (Эвенский РР) и Купол (Центрально-Чукотский сегмент), для ОМ – Кубака и Ольча, генетически связанные со среднепалеозойским Кедонским ВПП; - золото-редкометалльного типа – Перекатное, составляющее Невенрекан-Перекатненский рудный узел (Эвенский рудный район); - золото-серебряного полигенного типа – Теплое (на сочленении Омсукчанской РМЗ и Охотского сегмента ОЧВП). Установлено, что характер распределения фигуративных точек факторных значений – «относительная скученность» для моногенных месторождений и «хаотичность, разброс» для месторождений с нарушенной геохимической структурой, в равной степени отображаются и для разновозрастных объектов, и для объектов, принадлежащих генетически различным рудно-магматическим системам, зонам (рис. 6).

Пример месторождения Невенрекан интересен тем, что его руды имеют сложный вещественный состав, значительно отличающийся от известных золото-серебряных и золото-редкометалльных объектов. Геохимическая зональность рудного поля Невенрекан характеризуется как нарушенная. Примечателен и тот факт, что месторождение входит в состав Эвенского рудного района, для которого нами установлено два этапа рудообразования – ранний (плутоногенный) золото-редкометалльный (месторождение Перекатное –  $89\pm2$  млн лет, Ar-Ar) и поздний (вулканогенный) золото-серебряный эптермальный (месторождение Ирбычан – 82.5 млн лет, Ar-Ar). Установленная в рудах месторождения Невенрекан разнотипная наложенная минерализация позволила сформулировать 3-е защищаемое положение.

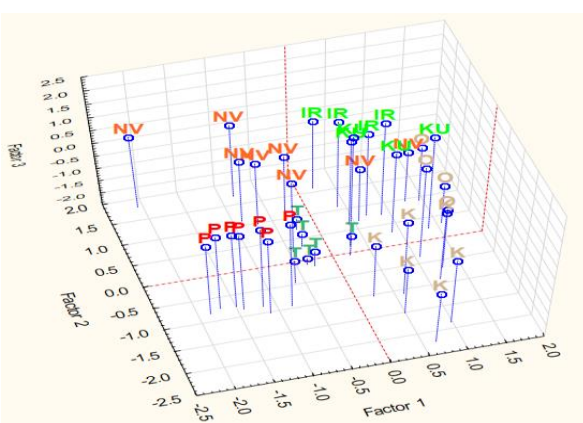


Рис. 6. Трехмерная диаграмма распределения figurативных точек значений факторных нагрузок по образцам руд месторождений. Позднемеловые: полигенное Невенрекан (NV), золото-серебряные Ирбычан (IR) и Купол (KU), золото-редкометалльное Перекатное (P), ранне-позднемеловое полигенное Теплое (T), среднепалеозойские золото-серебряные Кубака (K) и Ольча (O).

## ЗАКЛЮЧЕНИЕ

Содержание выполненного исследования представляет анализ геологических, петрологических, минералогических, геохимических и геохронологических данных, полученных автором в ходе разноплановых научных, геолого-разведочных, геолого-съемочных и др. работ по рудным объектам, расположенным в пределах ключевых для С-В России структур – ОМ и ОЧВП, и обобщения данных предшественников. В процессе достижения поставленной цели – установление закономерностей формирования и размещения мезозойских месторождений золота и серебра на ОМ и его южном обрамлении, с последующей разработкой металлогенических моделей их образования, получены следующие результаты:

1. Анализ информации по изотопному датированию (в т.ч. авторские данные) гранитоидных интрузий Конгинской и Коркодон-Наяханской РМЗ и Пенжинского сегмента ОЧВП позволил выделить среди них две группы датировок, соответствующих раннему (102-89 млн лет, альб-турон) и позднему (86-77 млн лет, сантон-кампан) этапам развития или импульсам интенсивного магматизма ОЧВП. Установлено, что интрузивные тела раннего этапа магматизма, сосредоточены преимущественно во внутренней зоне ОЧВП, наложенной на Удско-Мургальский ВП, позднего – во внешней зоне ОЧВП, в границах Конгинской и Коркодон-Наяханской РМЗ.

2. Обобщение геологических данных и материалов изотопного датирования меловых магматических образований и сопутствующего оруденения (в том числе авторские результаты U-Pb и  $^{40}\text{Ar}/^{39}\text{Ar}$  датирования) позволило показать место РМС в эволюционной схеме ОЧВП. Так Конгинская РМЗ выделяется преобладанием месторождений серебро-полиметаллического и медно-молибден-порфирового типа, формирование которых связано с поздним этапом эволюции ОЧВП. В границах Эвенского РР сосредоточены золото-редкометалльные месторождения, генетически связанные с гранитоидным магматизмом раннего этапа ОЧВП, и преобладающие золото-серебряные (LS) месторождения позднего.

3. Получены первые данные о возрасте руд золото-редкометалльного месторождения Перекатное –  $89 \pm 2$  млн лет, и золото-серебрянных руд Невенрекана –  $79 \pm 1$  млн лет.

### **Рекомендации, перспективы дальнейшей разработки темы:**

Сопоставление геологических данных и материалов изотопного датирования по рудным объектам Эвенского РР позволило выделить два этапа рудообразования, связанных с двукратным проявлением магматизма ОЧВП – ранний (плутоногенный, около 91 млн лет) золото-редкометалльный (месторождение Перекатное), генетически связанный с гранитоидным магматизмом (гармандинский комплекс) раннего этапа ОЧВП, и поздний (вулканогенный, 83-78 млн лет) золото-серебряный эпiterмальный (Невенрекан, Дальнее, Сопка Кварцевая, Ирбычан, Кегали), вероятно парагенетически связанный с «верхними» платобазальтами позднего этапа ОЧВП (Берман, 1970), с интрузиями андезит-риолитового ряда уйканского комплекса.

Актуальным остается вопрос о структурной принадлежности гранитоидных интрузий п-вов Тайгонос, Кони и Пьягина, несущих оруденение медно-порфировых и золото-редкометалльных рудно-магматических систем (Кузнецов и др., 2001 г.). Материалами предыдущих работ установлено, что в пределах данных структурных элементов вулканогенные образования Охотско-Чукотского и предшествующего Удско-Мургальского ВП находятся в сложных взаимоотношениях – накладываются друг на друга (Тихомиров, 2020). Согласно изотопному датированию период формирования рудоносных гранитоидных тел (104–94 млн лет) приходится на нижнюю границу ОЧВП, что в равной степени позволяет рассматривать их в составе Охотско-Чукотского или Удско-Мургальского ВП, либо как фрагмент ископаемой (реликтовой) самостоятельной островной дуги в составе сложно устроенного Охотского тектоно-магматического пояса (по, Устинев, 1959, 1963).

Обращает внимание двухэтапное гомодромное развитие магматизма и сопутствующего ему оруденения ОЧВП; этапы разделяются маркирующими терригенно-осадочными породами, в том числе конгломератами, что предполагает самостоятельность этих двух этапов магматизма.

## СПИСОК ОСНОВНЫХ РАБОТ, ОПУБЛИКОВАННЫХ ПО ТЕМЕ ДИССЕРТАЦИИ

*Научные статьи, опубликованные в рецензируемых научных изданиях,  
индексируемых в базе ядра Российской индекса научного цитирования  
eLibrary Science index:*

**1. Прийменко В.В.**, Глухов А.Н., Фомина М.И., Михалицына Т.И. Интрузивный этап развития вулканоструктуры и Au-Ag оруденения на примере месторождения Невенрекан (Магаданская область, Россия) // Вулканология и сейсмология. 2020. № 5. С. 13–25 (1.75 п.л., авторский вклад – 70%). DOI: 10.31857/S0203030620050041. Импакт-фактор РИНЦ 2023: 1.246.

**Priymenko V. V.**, Glukhov A. N., Fomina M. I., Mikhalitsyna T. I. The Intrusive Phase in the Evolution of a Volcanic Structure and of Au–Ag Low Sulfidation Mineralization: The Nevenrekan Deposit, Magadan Region, Russia // Journal of Volcanology and Seismology. 2020. Vol. 14, No. 5. P. 292–304. DOI 10.1134/S0742046320050048. (1.6 п.л., авторский вклад – 70%). SJR 2023: 0.295.

**2. Прийменко В.В.**, Глухов А.Н., Акинин В.В., Фомина М.И., Михалицына Т.И., Пономарчук А.В., Ползуненков Г.О. Золото-серебряное вулканогенно-плутоногенное месторождение Невенрекан (Магаданская область, Россия): вмещающие породы, околоврудные метасоматиты, возраст и вещественный состав руд // Вулканология и сейсмология. 2022. № 1. С. 54–72. (2.56 п.л., авторский вклад – 60%). DOI: 10.31857/S0203030622010059. Импакт-фактор РИНЦ 2023: 1.246.

**Priymenko V. V.**, Glukhov A. N., Akinin V. V. [et al.] The Nevenrekan Gold–Silver Volcanogenic–Plutonogenic Deposits, Magadan Region, Russia: Host Rocks, Host-Rock Metasomatites, Age, and Material Composition of the Ores // Jour-

nal of Volcanology and Seismology. 2022. Vol. 16, No. 1. P. 49-66. DOI 10.1134/S0742046322010055. (2.4 п.л., авторский вклад – 60%). SJR 2023: 0.295.

3. Глухов А.Н., **Прийменко В.В.**, Самсонов А.А. Возраст и тектоническая позиция эптермального золотого оруденения Омолонского массива (Северо-Восток Азии) // Вестник Московского университета. Серия Геология. 2021. № 6. С. 61–69 (0.97 п.л., авторский вклад – 30%). DOI: 10.33623/0579-9406-2021-6-61-69 Импакт-фактор РИНЦ 2023: 0,298.

Glukhov A. N., **Priymenko V. V.**, Samsonov A. A. The Age and Tectonic Position of Epithermal Gold Mineralization of the Omolon Massif (Northeast Asia) // Moscow University Geology Bulletin. 2022. Vol. 77, No. 1. P. 61-70. DOI: 10.3103/S0145875222010057. (0.9 п.л., авторский вклад – 30%). SJR 2023: 0.238.

4. Глухов А.Н., Котов А.Б., **Прийменко В.В.**, Сальникова Е.Б., Иванова А.А., Плоткина Ю.В., Федосеенко А.М. Гранитоиды Конгинской зоны Омолонского массива (Северо-Восток России): состав пород, возраст и геодинамическая обстановка формирования // Геотектоника. 2022. № 2. С. 81–94 (1.80 п.л., авторский вклад – 30%). DOI: 10.31857/S0016853X22020023. Импакт-фактор РИНЦ 2023: 2.224.

Glukhov A. N., **Priymenko V. V.**, Kотов А. В. [et al.] Granitoids of the Congo Magmatic Zone of the Omolon Massif (Northeastern Russia): Rock Composition, Age, and Geodynamic Setting // Geotectonics. 2022. Vol. 56, No. 2. P. 178-190. DOI: 10.1134/S0016852122020029. (1.60 п.л., авторский вклад – 30%). SJR 2023: 0.378.

*Научные статьи, опубликованные в других рецензируемых научных изданиях, включенных в дополнительный список изданий, рекомендованных для защиты в диссертационном совете МГУ имени М.В. Ломоносова по специальности и отрасли наук:*

5. Глухов А.Н., **Прийменко В.В.**, Фомина М.И., Акинин В.В. Металлогенез Конгинской зоны Омолонского террейна (Северо-Восток Азии) // Вестник Северо-Восточного научного центра ДВО РАН. 2021. № 2. С. 3–16. (1.87 п.л., авторский вклад – 30%). DOI: 10.34078/1814-0998-2021-2-3-16. Импакт-фактор РИНЦ 2023: 0.33.